

НЕОДНОРОДНОСТЬ ФЕРРОМАГНИТНОГО СОСТОЯНИЯ ПЕРОВСКИТОВ $(La_{1-x}Sr_x)_{1-\delta}MnO_3$ ПО ДАННЫМ ЯМР НА ЯДРАХ ^{139}La И ^{55}Mn

M. M. Savosta, ***B. D. Doroshov****, ***B. I. Kamenev****,
B. A. Borodin*, ***T. H. Tarasenko****, ***A. S. Mazur****

*Донецкий физико-технический институт им. А. А. Галкина Национальной академии наук Украины
83114, Донецк, Украина*

M. Maryško**

*Institute of Physics, Academy of Sciences of the Czech Republic
18221 Praha 8, Czech Republic*

Поступила в редакцию 28 декабря 2002 г.

Представлены результаты исследования спектров ядерного магнитного резонанса и ядерной магнитной релаксации ядер ^{139}La и ^{55}Mn в диапазоне температур 21–220 К, дополненные данными измерений магнитных и транспортных свойств, в ферромагнитных мanganитах $(La_{1-x}Sr_x)_{1-\delta}MnO_3$ ($x = 0, 0.075, 0.125, \delta \approx 0.03–0.05$). Обнаружено, что переход от ферромагнитного состояния с проводимостью полупроводникового типа к ферромагнитному состоянию с проводимостью металлического типа при увеличении степени дипирования x связан с перераспределением объемов двух фаз (двух типов областей), различающихся степенями свободы электронных дырок на узлах марганца. Кроме того, фазовый переход ферромагнетик–парамагнетик осуществляется путем плавного перераспределения объемов ферромагнитных и парамагнитных (либо антиферромагнитных) областей в широком интервале температур. Ферромагнитная проводящая фаза обусловлена механизмом «двойного обмена», тогда как в относительно непроводящих областях двойной обмен существенно ослаблен и реализуется путем относительно медленного термически активированного движения ян-теллеровских поляронов. Динамика ядерных спинов указывает на внутреннюю неоднородность каждой из этих фаз.

PACS: 76.60.-k, 75.30.Kz, 75.50.Rp

1. ВВЕДЕНИЕ

Ферромагнитные мanganиты $La_{1-x}A_xMnO_3$ ($A = Ca, Sr, Ba, Pb$) с первовскитоподобной структурой в последние годы являются объектами многочисленных исследований благодаря так называемому колоссальному магниторезистивному эффекту вблизи температуры магнитного упорядочения спинов марганца [1–3]. Основой для понимания тесной связи между магнитными и электрическими свойствами этих соединений является модель двойного обмена [4], в рамках которой индуцированные дипированием электронные дырки

имеют тенденцию легко прыгать между соседними узлами марганца, если оба узла имеют параллельные ориентации. Вследствие этого ферромагнитное упорядочение, например, в «оптимально» дипированных составах ($x \approx 0.3$) сопровождается резким уменьшением электрического сопротивления непосредственно ниже температуры Кюри T_C [5, 6]. Однако, как показали дальнейшие исследования, во многих случаях переход к проводимости металлического типа происходит значительно ниже T_C [7–9]. Более того, при малой концентрации дырок, большом беспорядке или искажениях решетки, а также при замещениях в узлах марганца возможна реализация ферромагнитного состояния без уменьшения сопротивления. Такое состояние обладает прово-

*E-mail: savosta@kinetic.ac.donetsk.ua
**M. Maryško

димостью полупроводникового типа (ferromagnetic insulating (FMI) state) вплоть до самых низких температур [7, 10, 11]. Природа таких состояний, не укладывающихся в рамки базовой концепции двойного обмена, остается неясной. Поэтому в последнее время активно дискутируются другие модели, такие как фазовая сепарация на ферромагнитные металлические (ferromagnetic metallic, FMM) и изолирующие зарядово-упорядоченные кластеры, ферромагнитный сверхобмен, зарядовое и/или орбитальное упорядочение, кластерное спиновое стекло, либо неоднородное основное состояние (см., например, [3, 12–15]).

Ядерный магнитный резонанс (ЯМР) благодаря своей локальной природе позволяет получить ценную информацию об особенностях магнитного состояния таких систем. ЯМР ядер ^{139}La в различных FMI-манганитах $\text{LaMnO}_{3+\delta}$ и $\text{La}_{1-y}\text{Ca}_y\text{MnO}_{3+\delta}$ был исследован в [16]. Во всех изученных образцах наблюдалось существенное уменьшение интенсивности либо полное исчезновение сигнала ЯМР в некотором интервале температур, что авторы работы [16] связывают с медленной диффузией решеточных возбуждений. В качестве источника таких возбуждений предложены малые ян-теллеровские поляроны. Аналогичные результаты получены для ЯМР ядер ^{139}La в $\text{La}_{1-x}\text{Ca}_x\text{MnO}_3$ в работе [17], в которой эффект уменьшения интенсивности сигнала ЯМР объяснен квазистатическим характером искажений октаэдров марганца в FMI-фазе. ЯМР ядер ^{55}Mn в соответствующих системах был исследован в [18–21]. Однако динамика ядерных спинов, которая содержит важную информацию об особенностях структуры ферромагнитного состояния таких систем, не была изучена.

В данной работе представлены результаты детального исследования спектров ЯМР и ядерной магнитной релаксации ядер ^{139}La и ^{55}Mn , дополненные данными измерений магнитных и транспортных свойств, в системе $(\text{La}_{1-x}\text{Sr}_x)_{1-\delta}\text{MnO}_3$ с относительно низкой концентрацией ионов Mn^{4+} ($x = 0, 0.075, 0.125$). При этом преследовалась цель изучить переход между FMI- и FMM-состояниями. Выбор объектов исследований обусловлен следующими соображениями. Известно, что наряду с допированием атомами стронция переменная валентность марганца и, соответственно, ферромагнитное состояние могут быть достигнуты в манганитах за счет катионных вакансий преимущественно в узлах лантана [11, 22–25], причем в зависимости от условий синтеза можно получить как FMM-, так и FMI-состояние. Увеличение степени допирования стронцием при неизменных

условиях синтеза приводит к увеличению T_C и стабилизации FMM-состояния. Аналогичная система была исследована в работе [26] с помощью упругого рассеяния нейтронов (PDF-анализ). Авторы высказали предположение о том, что в самодопированном манганите лантана ($x_{\text{Sr}} = 0$) носители могут захватываться катионными вакансиями (чем объясняется низкая термически активированная электропроводность), тогда как допирование стронцием приводит к формированию мобильных поляронов, обуславливающих металлическую проводимость. Данные ЯМР, полученные в настоящей работе, указывают на наличие в изученных соединениях одновременно двух типов ферромагнитных областей, различающихся подвижностью электронных дырок на узлах марганца. В зависимости от относительного объема этих областей основное состояние может быть проводящим либо обладать проводимостью полупроводникового типа. Обнаружено также, что фазовый переход из ферромагнитного в парамагнитное состояние является размытым и осуществляется путем плавного перераспределения объемов ферромагнитных и парамагнитных (либо антиферромагнитных) областей в широком интервале температур.

2. ЭКСПЕРИМЕНТ

Поликристаллические образцы

$$(\text{La}_{1-x}\text{Sr}_x)_{1-\delta}\text{MnO}_3 \quad (x = 0, 0.075, 0.125)$$

были изготовлены по стандартной технологии изготавления керамики со спеканием на воздухе, так как именно такой способ синтеза позволяет получить требуемую концентрацию носителей за счет вакансий в узлах La/Sr [27]. В качестве исходных материалов были взяты порошкообразные окислы La_2O_3 и MnO_2 и карбонат SrCO_3 высокой степени чистоты. Эти материалы в стехиометрическом соотношении были перемешаны и тщательно размолоты в агатовой ступке с использованием этилового спирта-ректификата. Высушенная шихта была спрессована в бруски. Образцы были подвергнуты предварительному обжигу при температуре 1000°C в течение 21.5 ч. Затем образцы были тщательно размолоты, спрессованы в бруски и подвергнуты окончательному обжигу при температуре 1100°C в течение 30 ч.

Кристаллическая структура полученных образцов определялась методом дифракции рентгеновских лучей в K_α -излучении никеля. Согласно рентгеновскому анализу, образцы однофазные и имеют

Параметры кристаллической решетки образцов
 $(\text{La}_{1-x}\text{Sr}_x)_{1-\delta}\text{MnO}_3$

x	$a, \text{\AA}$	$c, \text{\AA}$	$V/\text{форм. ед., \AA}^3$
0	5.523(1)	13.359(1)	58.8
0.125	5.5265(15)	13.336(3)	58.8

ромбоэдрическую структуру (симметрия $R\bar{3}c$). Параметры решетки для образцов крайних составов приведены в таблице. Значения параметров находятся в соответствии с имеющимися в литературе данными [22, 27] для подобных составов. Значения δ , оцененные путем сопоставления параметров решетки в таблице с данными работ [22, 27], составляют $\delta \approx 0.05$ и $\delta \approx 0.03$ для составов соответственно с $x = 0$ и $x = 0.125$. Следует отметить, что рефлексы, полученные от образца с $x = 0$, уширены по сравнению с легированным образцом с $x = 0.125$, что, видимо, свидетельствует о большей степени дефектности образца с $x = 0$ из-за наличия катионных вакансий.

Измерения намагниченности и начальной магнитной восприимчивости были проведены на СКВИД-магнетометре. Кривые намагничивания регистрировались в полях до 5 Тл. Значения спонтанного магнитного момента были получены путем экстраполяции участков кривых, соответствующих полям выше поля насыщения, к нулевому магнитному полю. Резистивные измерения проводились четырехзондовым методом. Данные этих измерений приведены на рис. 1. Из рисунка видно, что для образца с $x = 0$ переход ферромагнетик–парамагнетик размыт в широком интервале температур. С ростом концентрации стронция переход становится более резким, а температура Кюри T_C , определенная как точка перегиба кривой восприимчивости, систематически увеличивается. Кроме того, образец с $x = 0$ во всем интервале температур измерения имеет полупроводниковый характер сопротивления, тогда как для образцов с $x = 0.075, 0.125$ при понижении температуры наблюдается переход от полупроводниковой проводимости к металлической. Следует отметить, что температура перехода изолятор–металл для легированных образцов существенно ниже T_C , особенно для образца с $x = 0.075$.

Измерения ЯМР проводились на спектрометре ЯМР с медленной разверткой частоты и аналоговым накоплением сигнала. Для регистрации спектров ЯМР использовалась методика двухимпульс-

ного спинового эха: $\tau-\tau_{1-2}-\tau$, где τ_{1-2} — интервал времени между возбуждающими импульсами длительностью $\tau \approx 0.5\text{--}1.0$ мкс. Ввиду быстрой релаксации приведенные в данной работе спектры зарегистрированы с использованием минимального интервала времени τ_{1-2}^{min} , ограниченного «мертвым» временем приемника и переходными процессами. Время τ_{1-2}^{min} составляло 15 мкс при измерениях на ядрах ^{139}La и 3–3.5 мкс при измерениях на ядрах ^{55}Mn . Спин-спиновая релаксация исследовалась путем регистрации кривых зависимости площади, ограниченной кривой огибающей сигнала спинового эха, от интервала времени τ_{1-2} в двухимпульсном T_2 -эксперименте, а спин-решеточная релаксация — путем регистрации кривых восстановления сигнала в зависимости от времени t после инверсии ядерных спинов 180-градусным импульсом при фиксированном значении τ_{1-2} : $180^\circ-t-90^\circ-\tau_{1-2}-180^\circ$ (трехимпульсный T_1 -эксперимент). Все зарегистрированные сигналы имеют большой коэффициент усиления ЯМР, $\eta \geq 600$, свидетельствующий об их происхождении от ферромагнитных областей.

3. ЯМР-РЕЗУЛЬТАТЫ

Спектры ЯМР ядер ^{139}La и ^{55}Mn в системе $(\text{La}_{1-x}\text{Sr}_x)_{1-\delta}\text{MnO}_3$ при $T = 77$ К приведены на рис. 2. Спектр ЯМР ядер ^{139}La состоит из относительно широкой одиночной линии, центрированной на частоте $f \approx 17$ МГц для $x = 0.125, 0.075$, тогда как для $x = 0$ сигнал не наблюдается. Это находится в соответствии с данными, приведенными в работах [16, 17], согласно которым в FMP-манганитах, к которым относится состав с $x = 0$, сигнал ЯМР ядер ^{139}La исчезает в области азотных температур вследствие резкого уменьшения времени T_2 спин-спиновой релаксации. Следует отметить, что для состава с $x = 0.075$ амплитуда сигнала в два раза меньше по сравнению с амплитудой для $x = 0.125$, что отражает отмеченную выше тенденцию к уменьшению времени T_2 в составах, для которых тип электропроводности при $T < T_C$ меняется от металлического к полупроводниковому. Аналогичная ситуация наблюдается в спектрах ЯМР ядер ^{55}Mn . Для линии, центрированной около 380 МГц, амплитуда сигнала ЯМР в составе с $x = 0.125$ в 2.5 раза больше, чем в составе с $x = 0.075$, и в 60 раз больше по сравнению с сигналом в составе с $x = 0$. Для составов с $x = 0.125, 0.075$ кроме линии при $f \approx 380$ МГц, обусловленной усреднением сверхтонких полей на ядрах ^{55}Mn

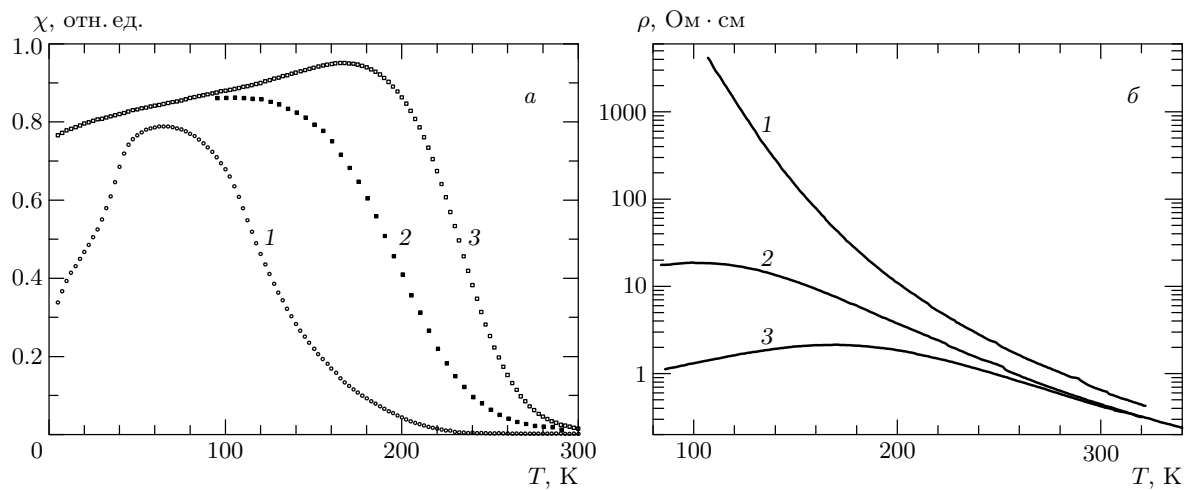


Рис. 1. Температурные зависимости начальной магнитной восприимчивости (а) и удельного электрического сопротивления (б) образцов $(\text{La}_{1-x}\text{Sr}_x)_{1-\delta}\text{MnO}_3$ при $x = 0$ (1), 0.075 (2), 0.125 (3)

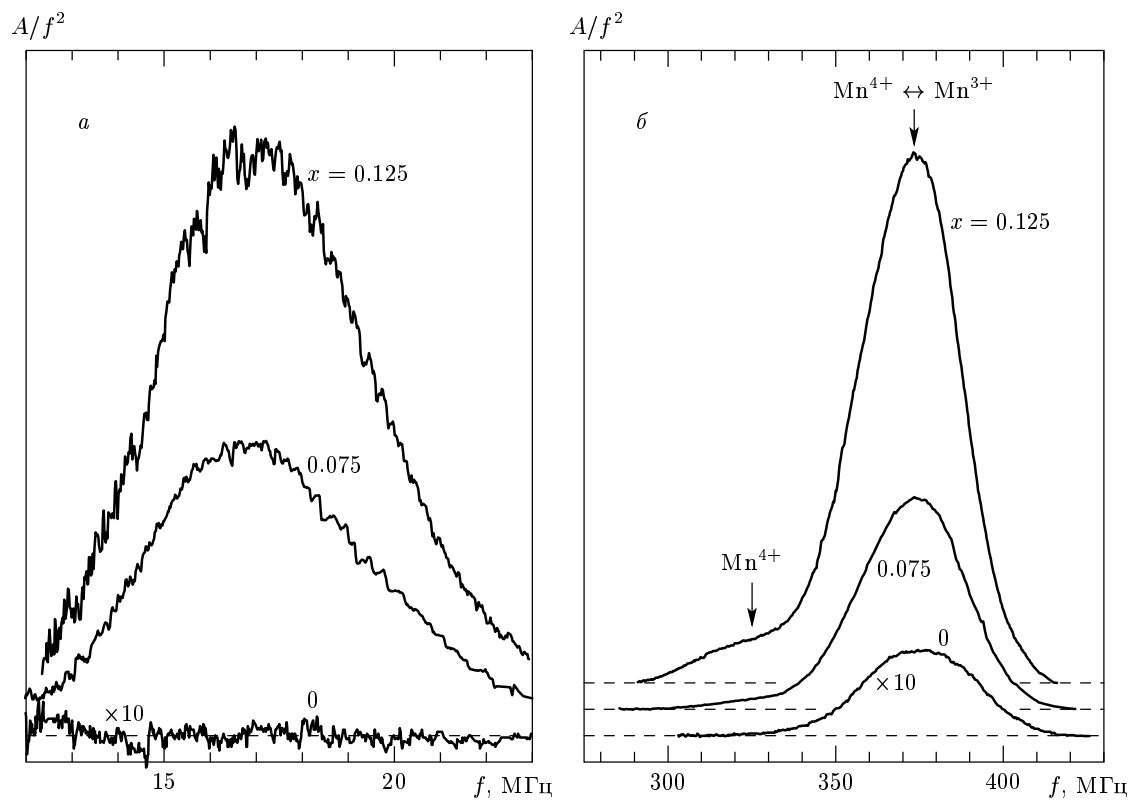


Рис. 2. Спектры ЯМР ядер ^{139}La (а) и ^{55}Mn (б) в системе $(\text{La}_{1-x}\text{Sr}_x)_{1-\delta}\text{MnO}_3$ при $T = 77$ К. Интенсивности спектров образца с $x = 0$ увеличены в 10 раз

за счет быстрого движения электронных дырок по узлам марганца $\text{Mn}^{4+} \leftrightarrow \text{Mn}^{3+}$ (с характерной частотой прыжков $f_{hop} > f_{NMR}$), в спектре ЯМР наблюдается также линия при $f \approx 325$ МГц, соответ-

ствующая квазилокализованным ($f_{hop} < f_{NMR}$) состояниям Mn^{4+} [28].

В дальнейшем мы сконцентрируем внимание на составах с $x = 0$ (соединение LMO) и $x = 0.125$ (со-

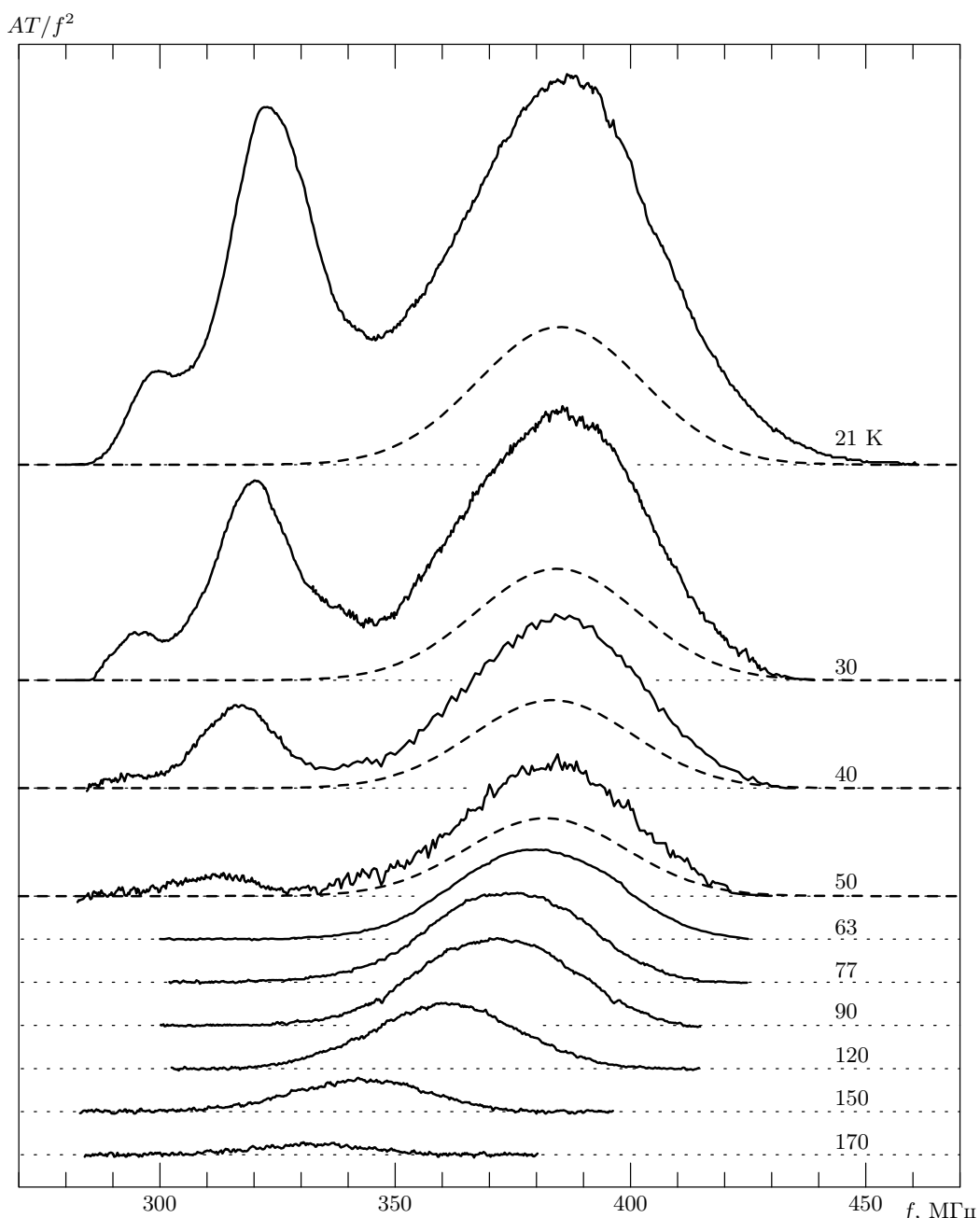


Рис. 3. Температурная эволюция спектров ЯМР ядер ^{55}Mn в LMO, зарегистрированных с использованием $\tau_{1-2} = 3.5$ мкс ($T = 21\text{--}50$ К) и $\tau_{1-2} = 3$ мкс при $T \geq 63$ К. Штриховыми линиями схематически показан вклад фазы I (см. текст) в спектры ЯМР при низких температурах

единение LSMO), которые при $T < T_C$, как следует из рис. 1, относятся к мanganитам с электропроводностью соответственно полупроводникового и металлического типа. Температурная эволюция спектров ЯМР ядер ^{55}Mn в LMO представлена на рис. 3. Приведенные данные скорректированы, чтобы исключить температурный фактор $A \propto 1/T$ для амплиту-

ды сигнала ЯМР, обусловленный законом Кюри для ядерной намагниченности. В поведении интенсивности основной линии ($f \approx 380$ МГц при $T = 77$ К) можно выделить три характерных температурных интервала. В диапазоне $63 \text{ К} < T < 120$ К приведенная интенсивность линии остается практически постоянной. При $T < 63$ К интенсивность сиг-

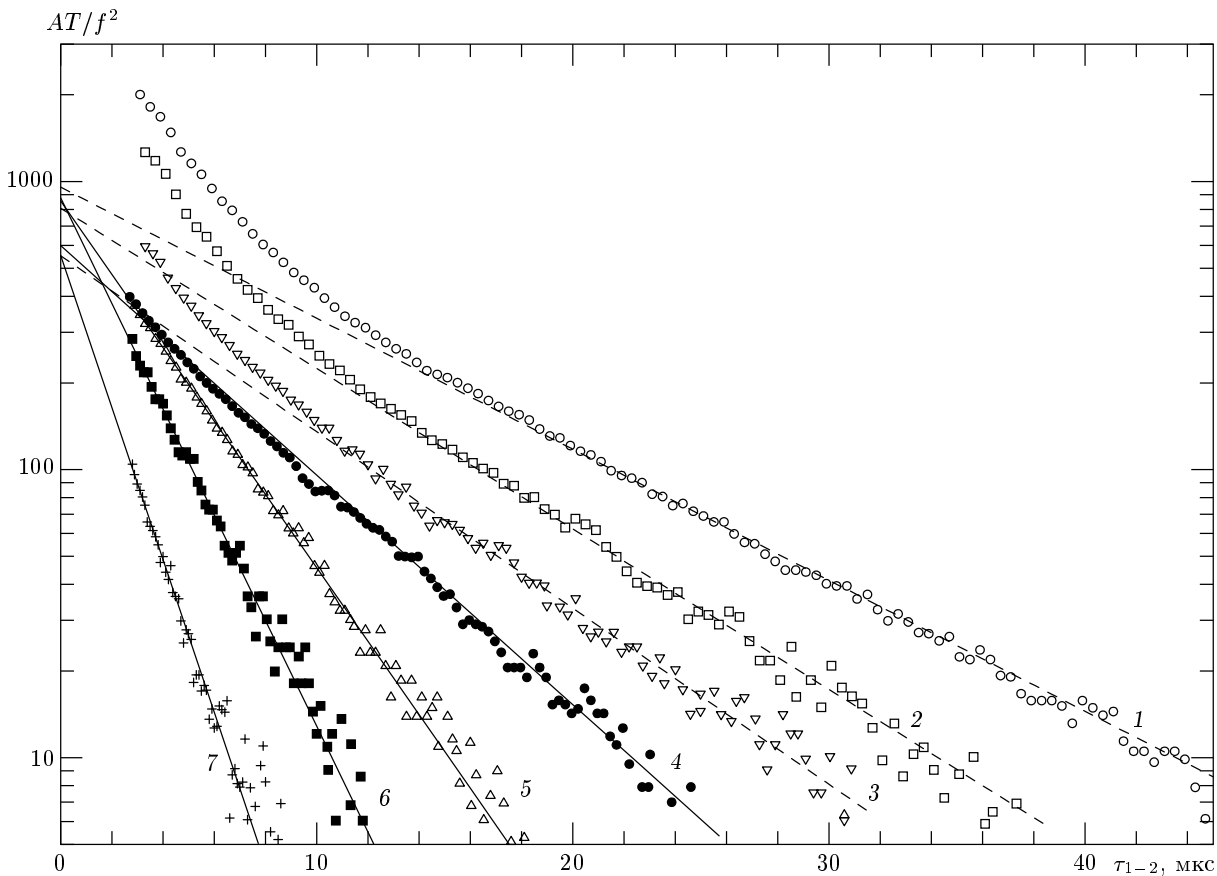


Рис. 4. Зависимость амплитуды спинового эха ядер ^{55}Mn в LMO от интервала τ_{1-2} при разных температурах: 1 — 21 К ($f = 385$ МГц); 2 — 30 К ($f = 384$ МГц); 3 — 50 К ($f = 382$ МГц); 4 — 63 К ($f = 380$ МГц); 5 — 100 К ($f = 369$ МГц); 6 — 130 К ($f = 356$ МГц); 7 — 160 К ($f = 337$ МГц)

нала значительно увеличивается, свидетельствуя о появлении некоторого дополнительного вклада при $f \approx 390$ МГц ($T = 21$ К). Кроме того, в спектре появляется дополнительная линия при $f \approx 310$ – 325 МГц с резко возрастающей интенсивностью при понижении температуры, соответствующая квазилокализованным состояниям Mn^{4+} . Наконец, при $T > 120$ К наблюдается уменьшение амплитуды сигнала ЯМР, обусловленное уменьшением времени T_2 для ядер ^{55}Mn , которое становится сравнимым с временем τ_{1-2}^{\min} , а также, как будет показано ниже, уменьшением количества ядер, дающих вклад в резонанс, т. е. уменьшением объема ферромагнитных областей.

Следует отметить, что наряду с сигналом от ионов Mn^{4+} в спектре ЯМР образца LMO при низких температурах наблюдается также сателлитная линия при $f \approx 295$ – 300 МГц. По-видимому, эта линия соответствует наличию в данном составе узлов марганца с меньшими расстояниями Mn–O, т. е. увеличенной ковалентностью соответствующих связей.

Наличие в LMO узлов марганца с различными расстояниями Mn–O наряду с большим количеством вакансий в узлах лантана может быть также причиной уширения рентгеновских рефлексов в этом образце по сравнению с LSMO. Подобная форма спектров ЯМР ядер ^{55}Mn наблюдалась также в работе [19] для самодопированного манганиита лантана.

Температурная эволюция спектров ЯМР ядер ^{55}Mn для LMO, приведенных на рис. 3, свидетельствует о наличии в данном образце двух типов ферромагнитных областей, отличающихся динамикой электронных дырок на узлах марганца. Спектр ЯМР от областей типа I состоит из одиночной линии ($f \approx 380$ МГц при $T = 77$ К), соответствующей быстрому движению электронных дырок по узлам марганца, и наблюдается в широком интервале температур. Спектр ЯМР от областей типа II сложный. Он состоит из двух линий, соответствующих квазилокализованным ионам Mn^{4+} ($f \approx 325$ МГц) и, как будет показано ниже, ионам Mn^{3+} ($f \approx 390$ МГц), и

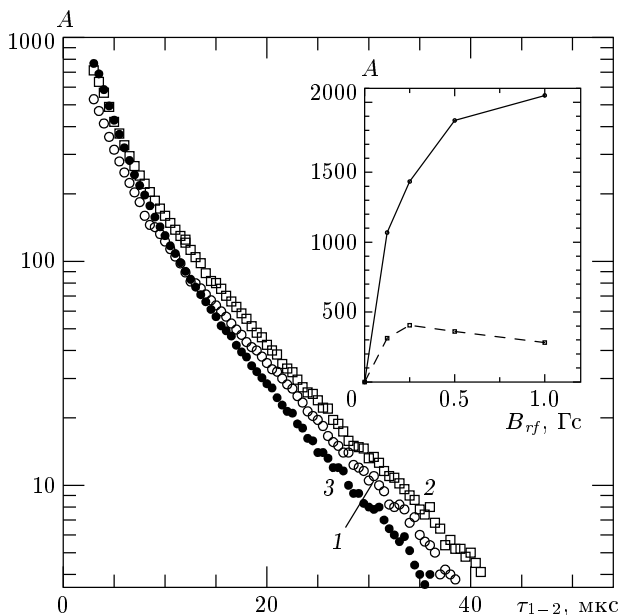


Рис. 5. Зависимость амплитуды сигнала эха ядер ^{55}Mn в LMO от интервала τ_{1-2} при $f = 385$ МГц и различных амплитудах B_{rf} радиочастотного поля, $T = 21$ К: 1 — 0.125; 2 — 0.25; 3 — 1 Гс. На вставке показаны зависимости от B_{rf} амплитуд быстрорелаксирующей ($T_2 = 5$ мкс, сплошная кривая) и медленнорелаксирующей ($T_2 = 17$ мкс, штриховая кривая) компонент сигнала эха, полученных путем разложения экспериментальных кривых на две экспоненты

наблюдается только при низких температурах. Наличие вкладов от двух типов областей в линии при $f \approx 380\text{--}390$ МГц наглядно демонстрируют кривые зависимости амплитуды спинового эха от интервала времени τ_{1-2} при разных температурах (рис. 4). При $T \geq 63$ К эти кривые хорошо описываются одиночной экспоненциальной функцией:

$$A(\tau_{1-2}) = A_0 \exp(-2\tau_{1-2}/T_2), \quad (1)$$

где T_2 — время спин-спиновой релаксации в областях типа I. При $T < 63$ К в амплитуду спинового эха дополнительный, быстро релаксирующий вклад вносят ядра ^{55}Mn в областях типа II. В принципе, такой вклад в ферромагнетиках может быть связан с примесью сигнала от более быстрорелаксирующих ядер в доменных границах. Тогда, как известно, за счет большой восприимчивости обратимого смещения доменных границ коэффициент η усиления ЯМР для ядер в доменных границах должен быть существенно (как правило, на один–два порядка величины) больше, чем для ядер в доменах [29]. Од-

нако в данном случае, как показано на рис. 5, оптимальное значение амплитуды радиочастотного поля B_{rf} для возбуждения быстрорелаксирующей компоненты сигнала ЯМР существенно больше, чем для возбуждения медленнорелаксирующей компоненты. Таким образом, в отличие от ситуации с доменами и доменными границами, в нашем случае величина η для быстрорелаксирующей компоненты в четыре раза меньше по сравнению с η для медленнорелаксирующей компоненты. Следовательно, мы имеем дело с сигналами от двух типов ферромагнитных областей (в дальнейшем именуемых фазами I и II) с различной величиной эффективного магнитного поля кристаллографической анизотропии H_A , причем для фазы II анизотропия приблизительно в четыре раза больше ($\eta \sim H_n/H_A$, H_n — сверхтонкое магнитное поле).

Наличие вкладов от двух фаз в линию при $f \approx 380\text{--}390$ МГц подтверждается также измерением спин-решеточной релаксации. На вставках к рис. 6 приведены кривые восстановления продольной компоненты ядерной намагниченности $M(t)$ при двух значениях интервала τ_{1-2} . Видно, что для $\tau_{1-2} = 14$ мкс, когда наблюдаемый сигнал определяется вкладом ядер от фазы I, кривая хорошо описывается экспоненциальной функцией:

$$A(t) = A_0 [1 - \exp(-2t/T_1)], \quad (2)$$

где $T_1 = 1.04$ мс — время спин-решеточной релаксации в фазе I. Для $\tau_{1-2} = 3.5$ мкс кривая восстановления $M(t)$ может быть описана суперпозицией двух экспонент с относительными амплитудами $A_0^I = 0.36$ и $A_0^{II} = 0.64$, определенными из T_2 -эксперимента, и временами $T_1 = 1.02, 0.143$ мс соответственно для фаз I и II. Следует отметить хорошее совпадение значений времени T_1 для фазы I в двух независимых экспериментах. Вклад фазы I в спектры ЯМР, регистрируемые при низких температурах, схематически показан на рис. 3 штриховыми кривыми. Амплитуда этого вклада определена из разложения зависимостей амплитуды спинового эха от интервала τ_{1-2} (рис. 4) на две компоненты.

Результаты исследования динамики ядерных спинов для линии при $f = 325$ МГц, соответствующей только фазе II, показывают, что кривая зависимости амплитуды спинового эха от интервала τ_{1-2} лишь приближенно описывается простой экспоненциальной функцией, т. е. в этой фазе также имеет место распределение времен T_2 . Интересно, что при этом форма кривых, полученных при различных амплитудах поля B_{rf} , приблизительно

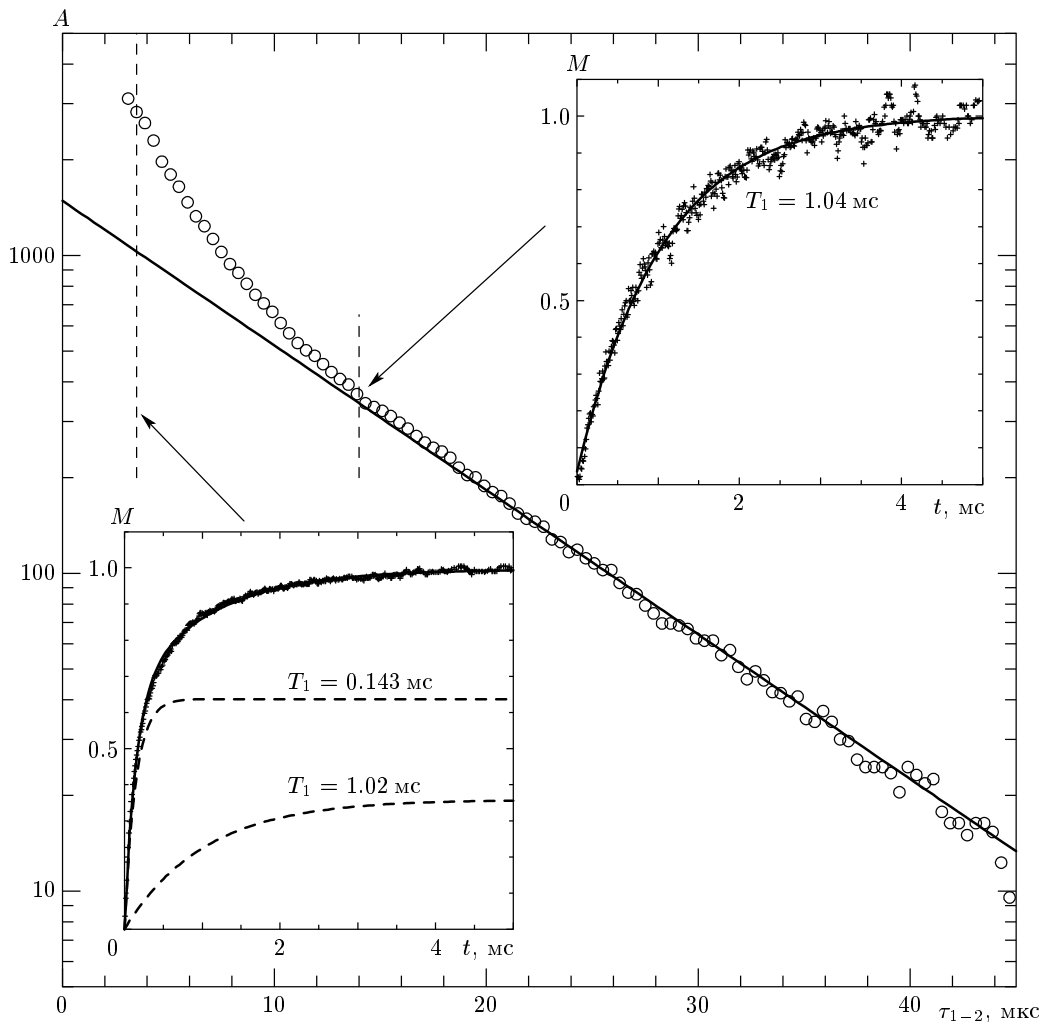


Рис. 6. Зависимость амплитуды сигнала эха ядер ^{55}Mn в LMO от интервала τ_{1-2} на частоте $f = 385$ МГц при $B_{rf} = 0.25$ Гс и $T = 21$ К. На вставках приведены кривые восстановления продольной компоненты ядерной намагниченности $M(t)$, снятые при $\tau_{1-2} = 3.5, 14$ мкс

сохраняется, указывая на однородность коэффициента усиления ЯМР и, следовательно, магнитной анизотропии в фазе II.

Температурная эволюция спектров ЯМР ядер LSMO приведена на рис. 7. Для этого состава форма спектра слабо меняется с температурой. Наблюдающееся уменьшение интенсивности сигналов при росте температуры обусловлено уменьшением как времени T_2 для ядер внутри доменов, так и объема ферромагнитной фазы.

При низких температурах ($T < 120$ К) форма линии при $f \approx 385$ МГц зависит от интервала τ_{1-2} (рис. 8a), что обусловлено характерной частотной зависимостью времени T_2 с минимумом в центре линии ЯМР (рис. 8б). Такая особенность связана

с супернакамуровским взаимодействием между ядерными спинами посредством виртуальных спиновых волн [29], которое имеет наибольшую интенсивность в центре линии, поскольку большинство ядерных спинов прецессирует на этой частоте или около нее. Интересно, что для линии при $f \approx 330$ МГц этот механизм неэффективен не только при $T = 63$ К, как показано на рис. 8, но и при более низких температурах.

При $T > 120$ К появляется другая частотно-зависимая динамика ядерных спинов, дающих вклад в линию при $f \approx 385$ МГц. А именно, с увеличением интервала времени τ_{1-2} ширина линии ЯМР сначала уменьшается, а затем, после некоторого значения τ_{1-2} , перестает изменяться. Как было показа-

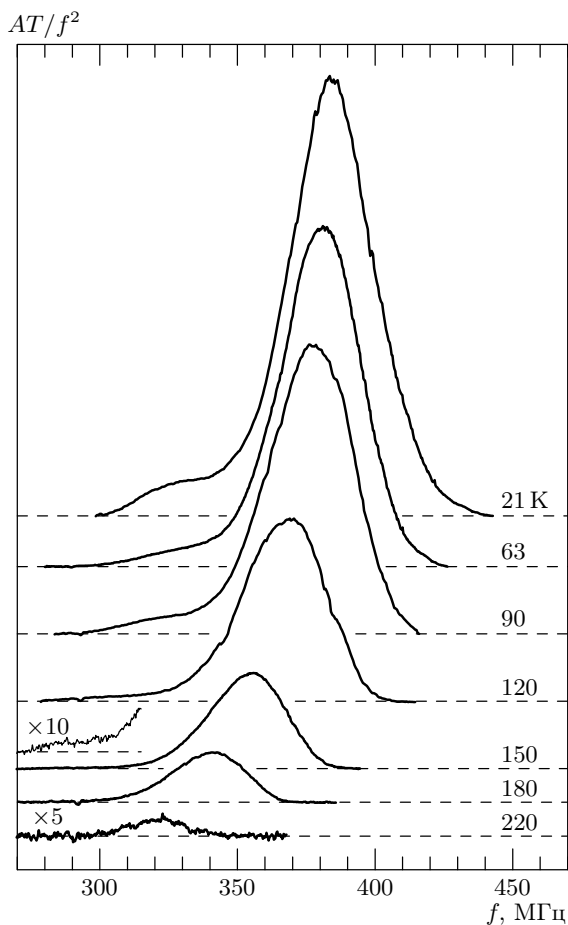


Рис. 7. Температурная эволюция спектров ЯМР ядер ^{55}Mn в LSMO. Спектры зарегистрированы при $\tau_{1-2} = 3$ мкс

но в [30], такое поведение можно описать, если ввести в рассмотрение вместо одной линии ЯМР две неразрешенные линии (A_1 и A_2), характеризующиеся различными временами T_2 . Наличие такой динамики ядерных спинов свидетельствует о том, что ферромагнитная фаза I в LSMO, так же как и в целом ряде мanganитов с проводимостью металлического типа, сама по себе является пространственно-неоднородной и состоит из наноскопических областей, различающихся мобильностью электронных дырок и интенсивностью двойного обмена [30].

Данные исследования спин-спиновой релаксации ядер ^{139}La в LMO и LSMO приведены на рис. 9. При каждой температуре кривые зависимости амплитуды спинового эха от интервала времени τ_{1-2} регистрировались в центре линии ЯМР. Для LMO эти кривые не описываются простой экспоненциальной функцией, как и в случае ядер ^{55}Mn в фазе II. С увеличением температуры релаксация резко ускоряет-

ся при одновременном уменьшении амплитуды медленнорелаксирующего вклада (штриховые линии на рис. 9). В результате сигнал ЯМР полностью исчезает при $T > 60$ К. Такое поведение свидетельствует о неоднородной релаксации ядер ^{139}La с широким распределением времен T_2 , что соответствует результатам работ [16, 17]. Для LMO спин-спиновая релаксация более медленная, слабо зависит от температуры, а амплитуда сигнала ЯМР приблизительно постоянна вплоть до $T = 160$ К. При дальнейшем увеличении температуры интенсивность сигнала уменьшается вследствие уменьшения объема ферромагнитной фазы. Следует заметить, что данные для LSMO на рис. 9 не корректировались с помощью зависимости вида $A \propto 1/T$ для амплитуды сигнала ЯМР от температуры, чтобы избежать наложения кривых друг на друга. Отметим также, что при низких температурах ($T \leq 90$ К) форма кривой затухания спинового эха наряду с лоренцевским вкладом вида (1) содержит также гауссовский вклад вида $A = A_0 \exp[-(\tau/T_{2G})^2]$, приводящий при больших задержках к отклонению экспериментальной зависимости от лоренцевской составляющей, показанной штриховой линией.

4. ОБСУЖДЕНИЕ РЕЗУЛЬТАТОВ

Основные результаты, полученные из анализа спектров ЯМР и релаксации для LMO и LSMO, обобщены на рис. 10–12. На рис. 10 представлены температурные зависимости времен T_2 спин-спиновой релаксации ядер ^{55}Mn и ^{139}La . В случаях, когда релаксация не описывается простой экспонентой (узлы Mn^{4+} и лантана в LMO), приведены значения T_2 для медленнорелаксирующей компоненты, что, как видно, например, из рис. 9 для ядер ^{139}La , хорошо характеризует температурную эволюцию динамики ядерных спинов. По той же причине для ядер ^{139}La в LSMO при низких температурах значения T_2 соответствуют начально-му экспоненциальному участку кривых затухания спинового эха ($\tau_{1-2} < 400$ мкс). На вставке к рис. 10 показан относительный объем областей A_1 с большей подвижностью электронных дырок для фазы I в LSMO в зависимости от температуры. На рис. 11 температурные зависимости относительного изменения частот линий ЯМР ядер ^{55}Mn сопоставлены с относительным изменением спонтанного магнитного момента. Наконец, на рис. 12 представлены температурные зависимости объемов магнитных

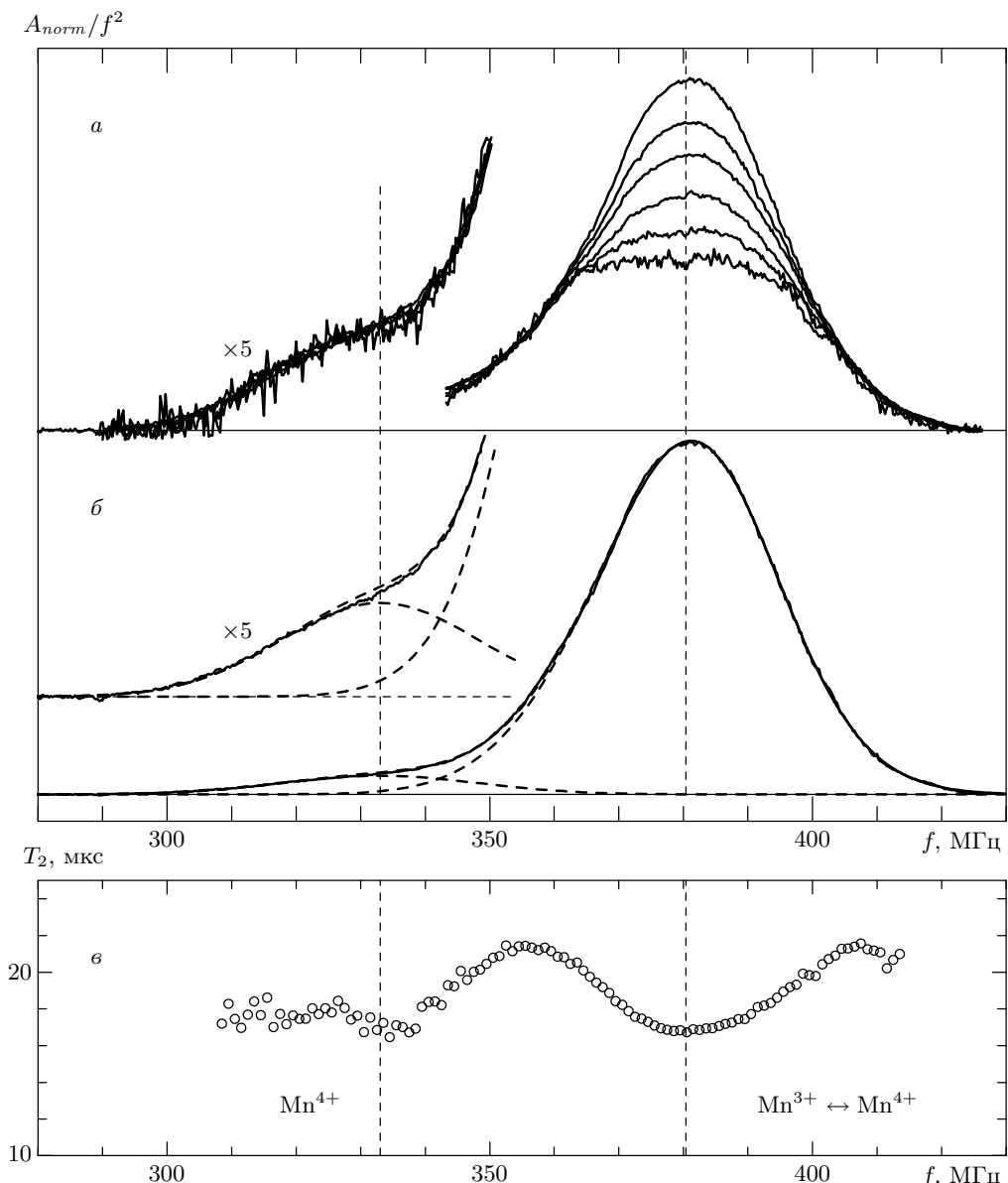


Рис. 8. Эволюция формы спектра ЯМР ядер ^{55}Mn в LSMO при $T = 63$ К и различных значениях τ_{1-2} : *а* — 3, 6.5, 11, 17, 24, 31 мкс (кривые сверху вниз), *б* — 3 мкс (спектр разложен на две линии (штриховые кривые)), а также зависимость времени T_2 от частоты (*в*)

фаз, пропорциональных скорректированным с учетом спин-спиновой релаксации и коэффициента усиления ЯМР площадям соответствующих линий ЯМР ^{55}Mn , в сравнении с температурными зависимостями спонтанного магнитного момента. Для LMO, из-за неоднородного распределения времен T_2 в фазе II, дана лишь оценка соответствующих объемов при $T = 21$ К.

Исходя из этих данных, фазовый состав и свойства отдельных фаз в исследованных мanganитах

можно интерпретировать следующим образом. Ферромагнитное состояние в образцах LMO и LSMO является неоднородным. В нем можно выделить две ферромагнитные фазы, различающиеся подвижностью электронных дырок на узлах марганца. Для фазы I спектр ЯМР на ядрах ^{55}Mn состоит из одиночной линии, соответствующей быстрому движению электронных дырок по узлам марганца. Температурная зависимость времени спин-спиновой релаксации (рис. 10) подчиняется экспоненциальному

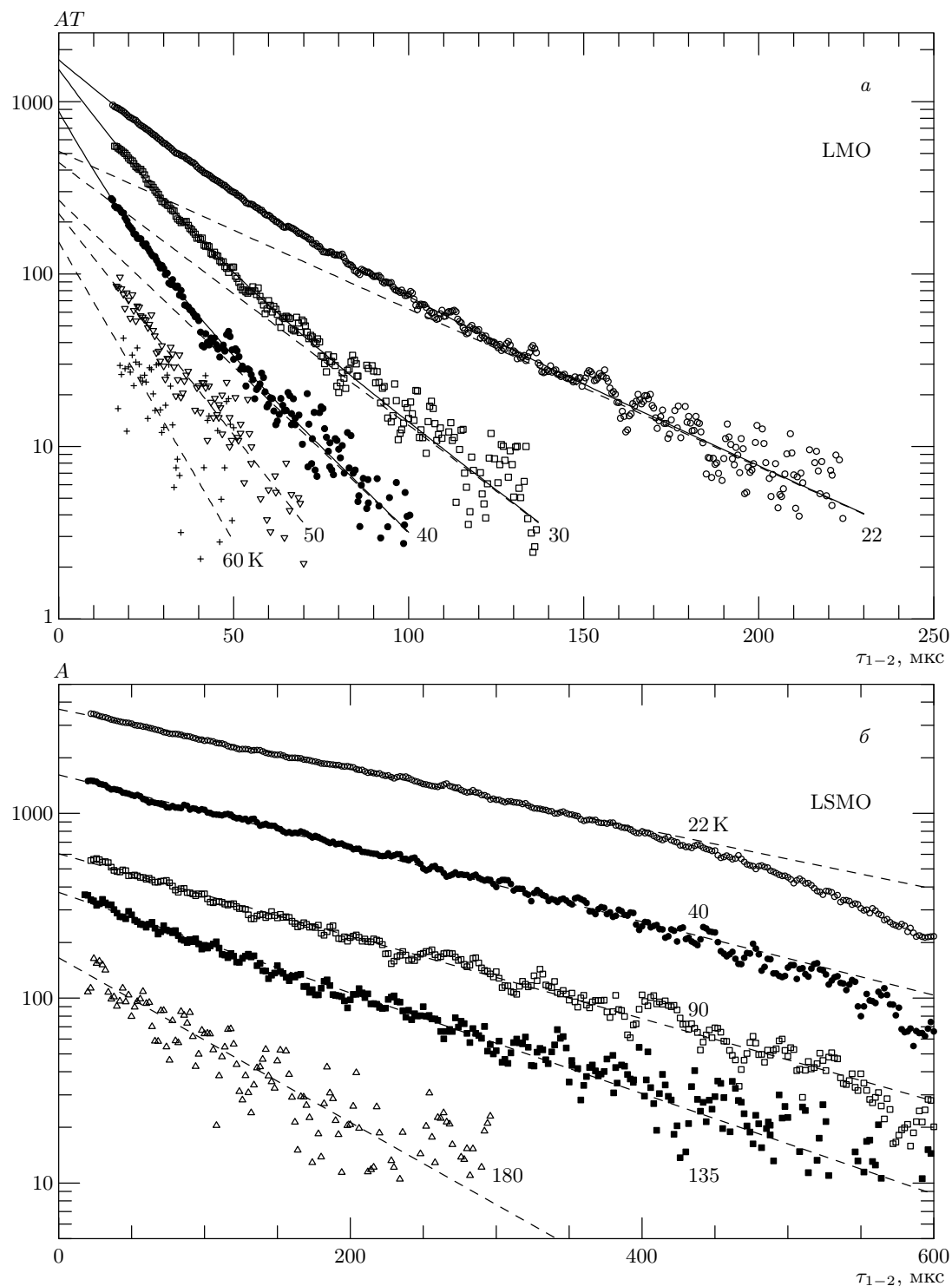


Рис. 9. Зависимость амплитуды сигнала спинового эха ядер ^{139}La в LMO и LSMO от интервала времени τ_{1-2} при разных температурах. Сплошной линией показана подгонка данных двумя экспонентами, штриховой — медленнорегулирующая компонента подгонки

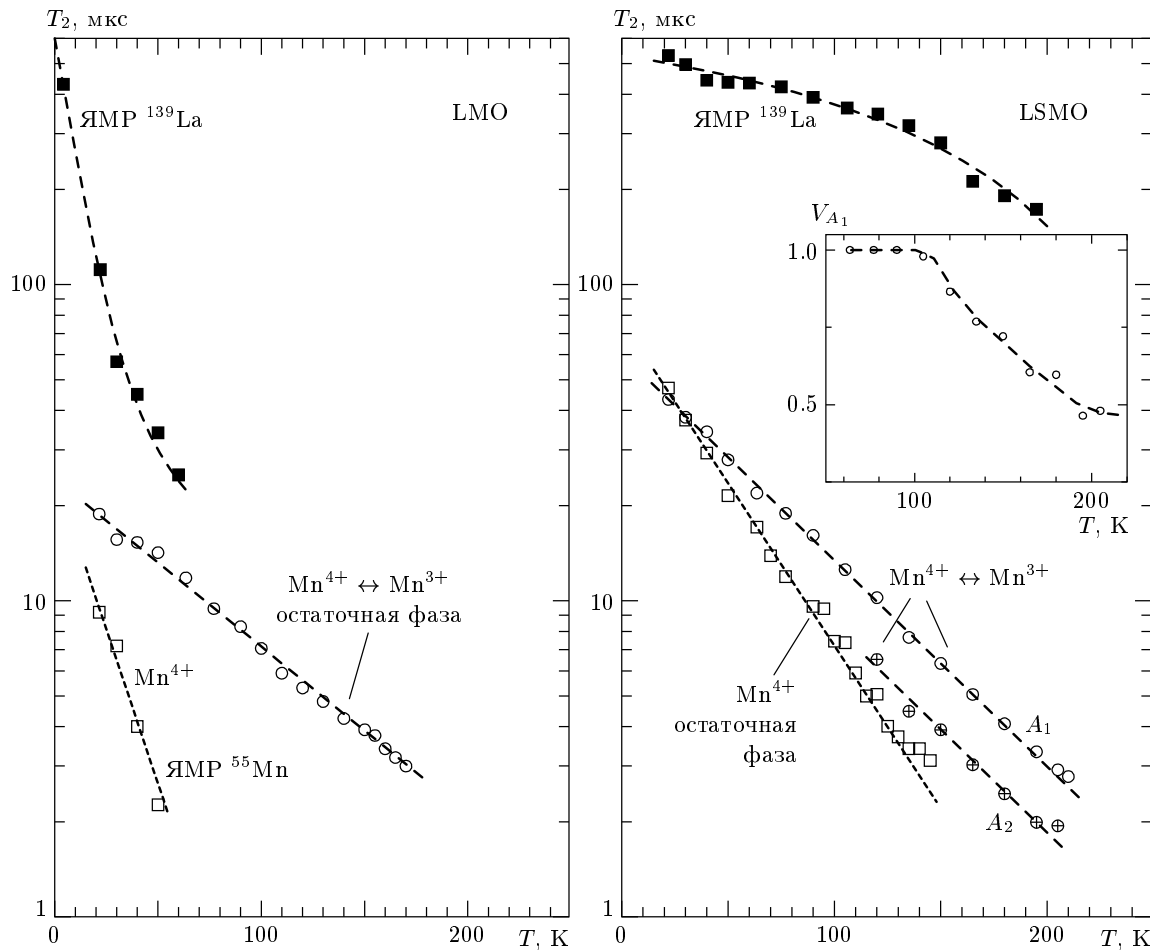


Рис. 10. Температурные зависимости времени T_2 спин-спиновой релаксации ядер ^{139}La и ^{55}Mn в LMO и LSMO. На вставке показана температурная зависимость относительного объема фазы A_1 для LSMO (см. текст)

закону с наклоном (в логарифмическом масштабе), характерным для однофазных мanganитов с металлическим типом проводимости ниже T_C [31]. Наконец, динамика ядерных спинов в LSMO, как и в других проводящих мanganитах [30], указывает на появление внутренней наноскопической неоднородности этой фазы при $T > 100$ К в отношении подвижности электронных дырок и, соответственно, интенсивности двойного обмена. Учитывая сказанное выше, фазу I следует идентифицировать с FMM-фазой, обусловленной двойным обменом. Для LSMO эта фаза является преобладающей, что и приводит к проводимости металлического типа при $T < T_C$, тогда как для LMO эта фаза является остаточной, составляя при низких температурах лишь около 1.5–3 % от суммарного объема ферромагнитных областей (рис. 12).

Наиболее интересными являются результаты, ка-

сающиеся ферромагнитной фазы II в образце LMO. Для этой фазы наблюдается сложный спектр ЯМР на ядрах ^{55}Mn , а время спин-спиновой релаксации резко уменьшается с ростом температуры. В результате соответствующие сигналы ЯМР в образце LMO можно наблюдать лишь при $T < 60$ К. Важными характеристиками этой фазы являются также резкое уменьшение времени спин-спиновой релаксации ядер ^{139}La при увеличении температуры и наличие неоднородной релаксации для ядер как ^{55}Mn , так и ^{139}La , характеризующейся широким распределением¹⁾ времен T_2 . В работе [16] аномально быстрая спин-спиновая релаксация ядер ^{139}La в

¹⁾ Отметим, что для LSMO, где сигнал ЯМР на ядрах ^{139}La происходит в основном от FMM-фазы, спин-спиновая релаксация ядер ^{139}La (рис. 10, LSMO) относительно слабо зависит от температуры, что наблюдалось и в других проводящих мanganитах [31, 32].

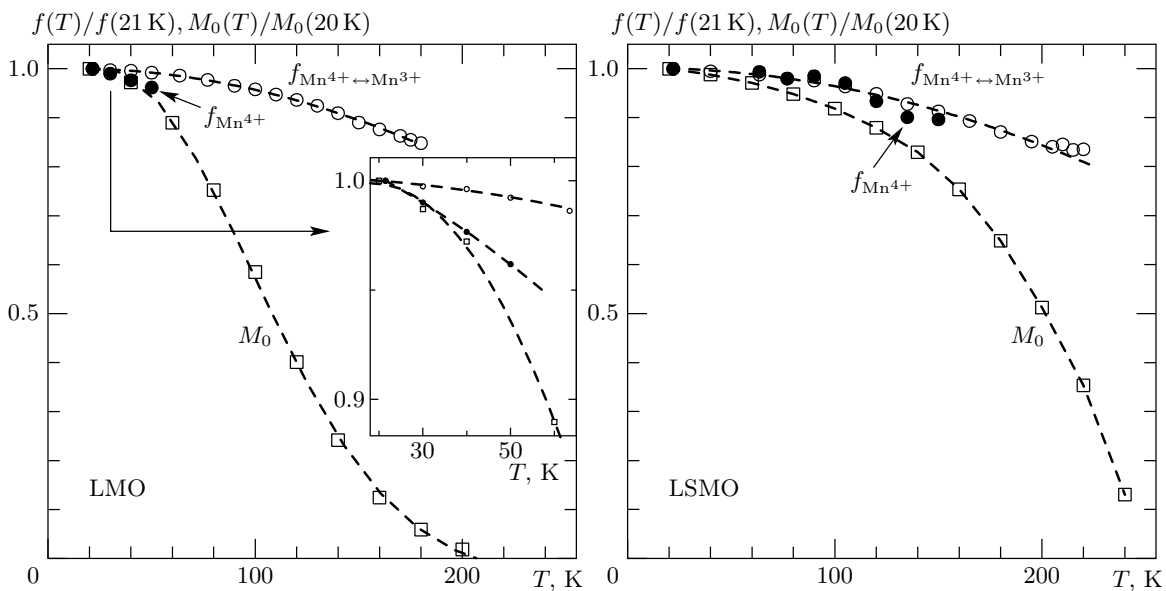


Рис. 11. Температурные зависимости изменения относительных частот ЯМР ядер ^{55}Mn и относительного изменения спонтанного магнитного момента M_0 для LMO и LSMO

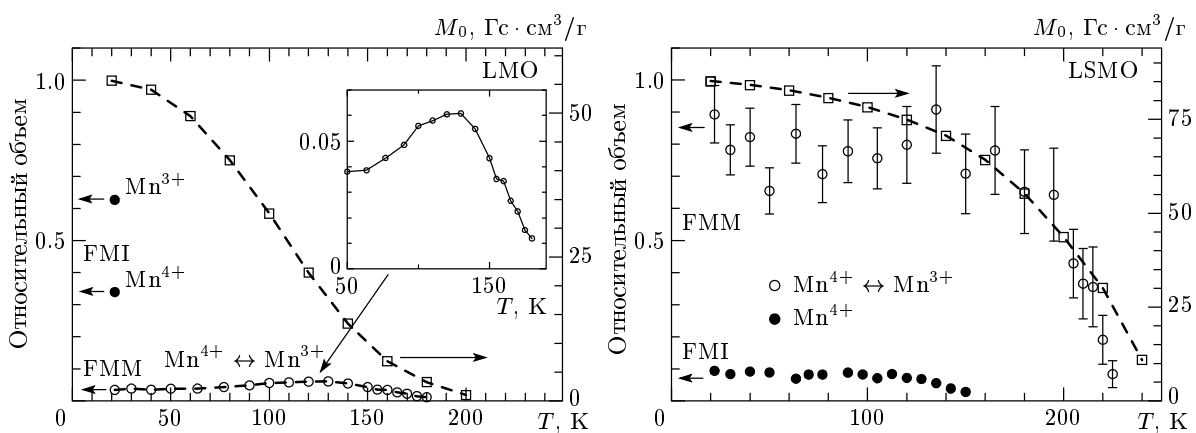


Рис. 12. Температурные зависимости площади линий ЯМР ядер ^{55}Mn и относительного изменения спонтанного магнитного момента M_0 для LMO и LSMO

FMI-манганитах связывается с флюктуациями градиента электрического поля, источником которых является диффузия искажений решетки при медленном движении ян-теллеровских поляронов. Такой сценарий находится в соответствии с результатами данной работы. Наряду с флюктуациями градиента электрического поля на ядрах ^{139}La движение ян-теллеровских поляронов приводит также к медленным флюктуациям валентности марганца, что

объясняет такую же резкую температурную зависимость времени T_2 ядер ^{55}Mn , как и ядер ^{139}La (рис. 10), но уже за счет флюктуации продольной компоненты локального магнитного поля H_n на ядрах ^{55}Mn . Причем в отличие от FMM-фазы, где спин-спиновая релаксация объясняется флюктуациями поля H_n за счет быстро движущихся электронных дырок ($f \gg f_{NMR}$) [31], в данном случае мы имеем дело с медленными ($f \leq f_{NMR}$) флюктуа-

циями поля H_n . При понижении температуры до 60 К средняя частота таких флюктуаций проходит через f_{NMR} , в спектре ЯМР появляются индивидуальные вклады, соответствующие в ионном приближении состояниям Mn^{4+} и Mn^{3+} , а время T_2 резко возрастает по мере уменьшения характерной частоты флюктуаций по сравнению с частотой ЯМР. Таким образом, фаза II может быть ассоциирована с FMI-фазой, в которой двойной обмен существенно ослаблен и реализуется в основном за счет относительно медленного, термически активированного движения ян-теллеровских поляронов. Для образца LMO эта фаза является преобладающей (рис. 12) и, как будет показано далее, в сочетании с парамагнитными и/или антиферромагнитными областями обусловливает проводимость полупроводникового типа. В образце LSMO линия, соответствующая Mn^{4+} , по-видимому, относится к остаточной FMI-фазе, так как температурная зависимость времени T_2 для этой линии более резкая по сравнению с аналогичной зависимостью в FMM-фазе (рис. 10), хотя ее наклон меньше, чем в случае LMO. В принципе, наличие в спектре ЯМР ^{55}Mn линии, соответствующей ионам Mn^{4+} , само по себе не является доказательством неоднозначности системы, а может быть также следствием неоднородности ферромагнитного состояния, когда за счет локального беспорядка в решетке часть дырок при низких температурах оказывается локализованной. Однако при этом спин-спиновая релаксация ядер ^{55}Mn в узлах Mn^{4+} более медленная, чем в узлах Mn^{4+}/Mn^{3+} , и по мере делокализации дырок с ростом температуры может иметь место выравнивание времен T_2 [33, 34], что, как видно из рис. 10, в данном случае не наблюдается.

Следует подчеркнуть, что согласно данным ЯМР в FMI-фазе имеют место именно медленные флюктуации валентности, а не локализация состояний Mn^{3+} и Mn^{4+} . При наличии локализованных ионов Mn^{3+} с отличным от нуля орбитальным моментом, являющихся релаксационными центрами с сильноанизотропным спектром флюктуаций, можно было бы ожидать, что ядерная магнитная релаксация будет определяться спин-решеточным вкладом и в предельном случае должно выполняться соотношение $T_2 = 2T_1$. Для LMO время T_1 для FMI-фазы существенно меньше, чем для FMM-фазы, тем не менее в обоих случаях $T_2 \ll T_1$, по крайней мере, при $T \geq 21$ К (см. рис. 6), что соответствует изотропному спектру флюктуаций локального поля на ядрах ^{55}Mn . Отмеченное выше распределение времен T_2 для FMI-фазы указывает на неоднородность энергии активации

ян-теллеровских поляронов за счет беспорядка в решетке, обусловленного в данной системе, главным образом, вакансиями в узлах лантана. Такая неоднородность может быть также причиной большей магнитной кристаллографической анизотропии в FMI-фазе по сравнению с FMM-фазой. Отметим, что, с учетом наличия антиферромагнитных взаимодействий между локализованными состояниями, при медленном движении дырок по узлам марганца возможна фрустрация ферромагнитного порядка, т. е. указанные характеристики FMI-фазы могут также отвечать состоянию типа кластерного спинового стекла, признаки которого обнаружены для самодопированных мanganитов лантана [14].

Перейдем теперь к анализу температурных зависимостей объемов FMM- и FMI-фаз. Температурная зависимость частот ЯМР на ядрах ^{55}Mn в хорошем приближении соответствует температурной зависимости локальных магнитных моментов на соответствующих узлах марганца [35, 36]. Как видно из рис. 11, магнитный момент на узлах Mn^{4+} (FMI) уменьшается с температурой быстрее, чем на узлах Mn^{4+}/Mn^{3+} с быстро меняющейся валентностью марганца (FMM), особенно для LMO. Такое поведение было отмечено также в [19] и соответствует приведенной выше интерпретации, согласно которой в FMI-фазе двойной обмен ослаблен. Обращает на себя внимание тот факт, что для обоих составов относительное изменение частот ЯМР с температурой как в FMM-, так и в FMI-фазе значительно меньше, чем изменение спонтанного магнитного момента. Это свидетельствует о том, что уменьшение намагниченности с ростом температуры в основном обусловлено уменьшением объема ферромагнитных областей, а не локального момента на узлах марганца. Другими словами, переход из ферромагнитного в парамагнитное состояние является размытым переходом первого рода и осуществляется путем плавного перераспределения объемов ферромагнитных и парамагнитных (либо антиферромагнитных) областей в широком интервале температур. Этот вывод наглядно продемонстрирован на рис. 12 путем сравнения температурной зависимости спонтанного магнитного момента для LSMO с зависимостями относительного объема FMM- и FMI-фаз, определенных из данных ЯМР²⁾. Размытость перехода ферромагнетик–парамагнетик является очевидной при-

²⁾ Заметим, что для $T > 210$ К ввиду уменьшения времен T_2 ЯМР регистрирует только вклад линии A_1 , составляющий около 50 % от суммарного объема FMM-фазы согласно данным, приведенным на вставке к рис. 10.

чиной более низкой температуры перехода диэлектрик–металл ($T = 170$ К) для состава LSMO по сравнению с $T_C = 232$ К, формально определенной как точка перегиба кривой восприимчивости. Такое несоответствие не противоречит концепции двойного обмена. Фактически, переход диэлектрик–металл происходит, когда FMM-области с проводимостью металлического типа занимают большую часть объема кристалла.

Для LMO данные ЯМР позволяют надежно определить лишь температурную зависимость относительного объема более медленно релаксирующей остаточной FMM-фазы. Оценка объема основной FMI-фазы затруднена в связи с неоднородностью спин-спиновой релаксации, а также с ее резким ускорением с температурой. С использованием наиболее надежных данных при $T = 21$ К оценка объема FMI-фазы дает значение около 97 % от общего объема ферромагнитных областей и, соответственно, около 3 % приходится на долю FMM-фазы (см. рис. 12). Другая оценка относительного объема FMM-фазы в этом соединении, полученная путем непосредственного сравнения интенсивностей сигналов ЯМР в образцах LMO и LSMO при $T = 77$ К, показывает, что объем FMM-фазы составляет примерно 1.5 %. Хотя температурную зависимость локальных магнитных моментов в FMI-фазе удалось определить из данных ЯМР лишь до $T \approx 60$ К, уже при этих относительно низких температурах частота ЯМР уменьшается медленнее, чем спонтанный момент (см. вставку к рис. 11). Таким образом, можно ожидать, что и в LMO температурная зависимость спонтанного магнитного момента в основном отражает уменьшение объема FMI-фазы. Более быстрого уменьшения объема FMI-фазы в LMO по сравнению с объемом FMM-фазы в LSMO можно ожидать исходя из данной выше интерпретации, согласно которой магнитные взаимодействия в FMI-фазе существенно слабее. Следует отметить также, что для LSMO при $T = 20$ К спонтанный магнитный момент в расчете на ион марганца, $M_0 \approx 3.53\mu_B$, близок к ожидаемому спиновому значению $M_0 \approx 3.8\mu_B$ при полном ферромагнитном упорядочении магнитных моментов. В то же время для LMO наблюдаемый магнитный момент существенно меньше, $M_0 \approx 2.31\mu_B$, что может быть связано с фазовой сепарацией на ферромагнитную и парамагнитную (либо антиферромагнитную) фазы даже при этой температуре, либо являться признаком состояния типа спинового стекла, как отме-

чалось выше³⁾. Сложную форму температурной зависимости сопротивления для LMO с энергией активации, зависящей от температуры (см. рис. 1), можно, таким образом, связать с перераспределением объемов парамагнитных (либо антиферромагнитных при низких температурах) и FMI-областей в широком диапазоне температур.

Интересно, что, несмотря на резкое уменьшение объема ферромагнитных областей с температурой, относительный объем FMM-фазы в LMO имеет некоторую тенденцию к росту в интервале температур 60–130 К (см. вставку к рис. 12). Такое поведение можно объяснить делокализацией части дырок в FMI-фазе при увеличении температуры [33, 34]. В соответствии с этим объем остаточной FMI-фазы в LSMO также имеет тенденцию к уменьшению, однако при более высоких температурах ($T \geq 130$ К), что можно связать с меньшей средней энергией активации ян-теллеровских поляронов в LSMO по сравнению с LMO. В рамках данной выше интерпретации релаксации ядер ^{55}Mn в FMI-фазе такое поведение должно проявиться в более медленной, чем в LMO, релаксации, что действительно имеет место.

Обнаруженная в данной работе методом ЯМР существенная магнитная неоднородность ферромагнитных мanganитов с катионными вакансиями, по-видимому, не связана с дефектностью поликристаллических образцов, а является главным образом их внутренним свойством. Ввиду локальности ЯМР-методики дефекты поликристаллических образцов, объем которых существенно меньше объема кристаллитов, мало влияют на надежность получаемых результатов как при регистрации спектров ЯМР, так и при изучении динамики ядерных спинов. На это указывают, например, результаты работы [21], в которой изучена магнитная неоднородность монокристаллических образцов $\text{La}_{1-x}\text{Ca}_x\text{MnO}_3$ ($0 \leq x \leq 0.15$), выращенных

³⁾ В принципе, заниженное значение магнитного момента может быть также связано с неколлинеарностью магнитной структуры, однако, как свидетельствуют многочисленные экспериментальные и теоретические результаты (см., например, [1, 37]), модели фазовой сепарации либо спин-стекольского состояния в случае данных соединений более предпочтительны. Кроме того, однородная неколлинеарная модель для магнитной структуры LMO не позволяет объяснить наблюдаемые температурные зависимости магнитного момента и частот ЯМР. В этом случае следовало бы предположить, что магнитная структура с ростом температуры непрерывно эволюционирует в сторону антиферромагнитного упорядочения. В то же время магнитное упорядочение в LMO существует вплоть до $T \approx 200$ К, что существенно выше температуры антиферромагнитного упорядочения $T \approx 140$ К в стехиометрическом соединении LaMnO_3 .

методом зонной плавки, и поликристаллических образцов ($x = 0.2, 0.3$).

5. ВЫВОДЫ

В настоящей работе с использованием локальной методики ЯМР показано, что ферромагнитное состояние в мanganитах $(La_{1-x}Sr_x)_{1-\delta}MnO_3$ является пространственно-неоднородным вследствие наличия одновременно двух типов ферромагнитных областей, качественно различающихся подвижностью электронных дырок на узлах марганца. Ферромагнитная проводящая фаза обусловлена механизмом двойного обмена, тогда как в FMI-фазе двойной обмен существенно ослаблен и реализуется в основном за счет медленного, термически активированного движения ян-теллеровских поляронов с характерной частотой, сравнимой с частотой ЯМР. Динамика ядерных спинов указывает на внутреннюю неоднородность каждой из фаз. Дополнительная неоднородность связана с размытостью фазового перехода ферромагнетик–парамагнетик. Из сравнения данных ЯМР с намагниченностью показано, что этот переход осуществляется путем плавного перераспределения объемов ферромагнитных и парамагнитных (либо антиферромагнитных) областей в широком интервале температур. Ферромагнитная проводящая фаза является остаточной в самодопированном $La_{1-\delta}MnO_3$, однако с увеличением концентрации стронция она становится преобладающей для состава с $x = 0.125$. В сочетании сужением температурного интервала перехода ферромагнетик–парамагнетик это обуславливает изменение характера электропроводности от электропроводности полупроводникового типа для состава с $x = 0$ к электропроводности металлического типа при низких температурах для составов с $x = 0.075, 0.125$.

Авторы выражают благодарность П. Новаку (P. Novák), З. Жираку (Z. Jirák) и Дж. Хейтманеку (J. Hejtmanek) из Института физики (Прага) за полезные обсуждения экспериментальных результатов. Работа поддержана Фондом фундаментальных исследований Украины (проект Ф7/471-2001).

ЛИТЕРАТУРА

1. Э. Л. Нагаев, УФН **166**, 833 (1996).

2. A. P. Ramirez, J. Phys.: Condens. Matter **9**, 8171 (1997).
3. E. Dagotto, T. Hotta, and A. Moreo, Phys. Rep. **344**, 1 (2001).
4. C. Zener, Phys. Rev. **82**, 403 (1951).
5. J. H. Van Santen and G. H. Jonker, Physica **XVI**, 599 (1950).
6. G. J. Snyder, R. Hiskes, S. DiCarolis et al., Phys. Rev. B **53**, 14434 (1996).
7. R. M. Thomas, L. Ranno, and J. M. D. Coey, J. Appl. Phys. **81**, 5763 (1997).
8. D. Cao, F. Bridges, M. Anderson et al., Phys. Rev. B **64**, 184409 (2001).
9. A. K. Heilman, Y. Y. Xue, B. Lorenz et al., Phys. Rev. B **65**, 214423 (2002).
10. Y. Moritomo, A. Asamitsu, and Y. Tokura, Phys. Rev. B **56**, 12190 (1997).
11. S. De Brion, F. Ciucas, G. Chouteau et al., Phys. Rev. B **59**, 1304 (1999).
12. Y. Endoh, O. Hino, S. Nohdo et al., Phys. Rev. Lett. **82**, 4328 (1999).
13. J.-S. Zhou, J. B. Goodenough, A. Asamitsu, and Y. Tokura, Phys. Rev. Lett. **79**, 3234 (1997).
14. L. Ghivelder, I. A. Castillo, M. A. Gusmão et al., Phys. Rev. B **60**, 12184 (1999).
15. B. Martinez, R. Senis, Ll. Balcells et al., Phys. Rev. B **61**, 8643 (2000).
16. G. Allodi, M. C. Guidi, R. De Renzi et al., Phys. Rev. Lett. **87**, 127206 (2001).
17. G. Papavassiliou, M. Belesi, M. Fardis, and C. Dimitropoulos, Phys. Rev. Lett. **87**, 177204 (2001).
18. Cz. Kapusta and P. C. Riedi, J. Magn. Magn. Mat. **196–197**, 446 (1999).
19. Cz. Kapusta, P. C. Riedi, W. Kocemba et al., J. Appl. Phys. **87**, 7121 (2000).
20. M. Belesi, G. Papavassiliou, M. Fardis et al., Phys. Rev. B **63**, 180406(R) (2001).
21. G. Allodi, M. C. Guidi, R. De Renzi, and M. W. Pieper, J. Magn. Magn. Mat. **242–245**, 635 (2002).
22. J. F. Mitchell, D. N. Argyriou, C. D. Potter et al., Phys. Rev. B **54**, 6172 (1996).
23. V. Golovanov, L. Mihaly, C. O. Homes et al., Phys. Rev. B **59**, 153 (1999).

- 24.** R. Suryanarayanan, V. Gasumyants, and N. Ageev, Phys. Rev. B **59**, R9019 (1999).
- 25.** V. Markovich, E. Rozenberg, G. Gorodetsky et al., Phys. Rev. B **63**, 054423 (2001).
- 26.** D. Louca, E. L. Brosha, and T. Egami, Phys. Rev. B **61**, 1351 (2000).
- 27.** F. Prado, R. D. Sanchez, A. Caneiro et al., J. Sol. St. Chem. **146**, 418 (1999).
- 28.** G. Matsumoto, J. Phys. Soc. Jpn. **29**, 615 (1970).
- 29.** Е. А. Туров, М. П. Петров, *Ядерный магнитный резонанс в ферро- и антиферромагнетиках*, Наука, Москва (1969).
- 30.** M. M. Savosta and P. Novák, Phys. Rev. Lett. **87**, 137204 (2001).
- 31.** M. M. Savosta, V. A. Borodin, and P. Novák, Phys. Rev. B **59**, 8778 (1999).
- 32.** G. Allodi, R. De Renzi, and G. Guidi, Phys. Rev. B **57**, 1024 (1998).
- 33.** M. M. Savosta, P. Novák, Z. Jirák et al., Phys. Rev. Lett. **79**, 4278 (1997).
- 34.** М. М. Савоста, Е. Е. Соловьев, Письма в ЖЭТФ **70**, 522 (1999).
- 35.** M. M. Savosta, V. A. Borodin, P. Novák et al., Phys. Rev. B **57**, 13379 (1998).
- 36.** P. Novák, M. Maryško, M. M. Savosta, and A. N. Ulyanov, Phys. Rev. B **60**, 6655 (1999).
- 37.** A. Moreo, S. Yunoki, and E. Dagotto, Science **283**, 2034 (1999).